

TITLE PAGE

Kraffversuche mit Si-Al-Katalysator (K 6752) im  
50 Liter-Ofen und Vergleich der Ergebnisse mit  
der K 6108 Staub-Fahrweise.

Cracking Experiments with Si-Al Catalysts  
(No. 6752) in 50-Litre Ovens and Comparison  
of Results with the Powder Catalyst Methods  
Using Catalyst No. 6108.

Frame Nos. 741 - 777

Deutsche Petroleum  
Ld. 352

24. Juli 1943 D.R.E./K.

Zurückgewiesen  
am 25. Juli 1943

Krakow, 12. Juli 1943, Versuchsergebnis IX (172) 11

zu 1203 Brueckeler Gasöl, Verteilung Benzinkohle (12.11)

zu K 6108 unter Krackoxyd.

### Ergebnisse und Diskussion

Y 338 Reitbrook Gasöl (Siedegrenzen: 193 - 250°) und  
Y 1203 Brueckeler Gasöl (Siedegrenzen: 172 - 331°) wurden über  
K 6752 (synthetisches Al-Silikat) in einem 50 Liter Ofen mit festem  
zusammengeordnetem Kontakt bei 1 atm. katalytisch gekreuzt.

Die Ergebnisse der Krackversuche wurden den vor den letzten  
Olen mit K 6108 (Terrana), staubförmig erhaltenen Ergebnissen (Berg.)  
überegestellt. (Ber. Dr. Hönnerwacher 212531 vom 8.3.43).

Hierbei zeigt sich, daß OIe vom Typ des Brueckeler Gasöls  
(paraffinbasisch) bei der Verarbeitung über K 6752 (festes Gordinet)  
mindestens gleich gute Benzinkohle- und Produktverteilung (Ver-  
gängung: Koks) ergeben wie bei Verarbeitung mit staubförmiger K 6108.

Ole vom Typ des Brueckeler Gasöls (gemischtbasisch) lassen  
sich über festzusammengeordnetem K 6752 mit deutlich besserer Benzinkohle-  
und Produktverteilung (würiger Gas und Koks) verarbeiten wie mit staub-  
förmiger K 6108.

Die Qualität der Krackbenzine ist hinsichtlich Öl für nicht  
unterschiedlich bei Verarbeitung von festzusammengeordnetem K 6752 und festem, staub-  
förmigem, würigem K 6108.

Die Ergebnisse der Krackversuche sind im folgenden Verzeichnis zusammengestellt:

Zu einer Verarbeitung der über K 6108 erhaltenen Gaso.  
Y 1203 (12.11) wurde Krackoxyd nach dem D.R.V.-Verfahren  
Gesetz.

Die Versuchsergebnisse sind im folgenden Tabelle zusammengestellt:

- 2 -

Unterzeichnet am

Dr. Meister

Dr. Pfeiffer (Makler)

Dr. R.

Ausführungen

In 50 Liter Ofen wurden Vergleichsversuche mit fester Lagerung (R 5752 (AI-S11) 101) gefahren. Die mit Bruchzahlen (S. 120) und Bruchgrad (P. 1338) festgestellten Schmelzen Krackiergrade werden mit den Stahlkrafft-Festzahlen (K 6108) verglichen (S. Ber. 2125, S. 26, S. 43).

Ausführungen: Die Versuche waren im 50 Liter-Ofen 701 im Bau 418 (Ber. 19641 v. 15.12.41; 198371 v. 15.1.42; 200781 v. 2.12.42 Fr.) mit Rostrohrabtriebung, elektrisch betriebener Krackkammer unter Wärmeleitung, sogenanntem Kultivator, einer auf 1000 Liter Produkt ohne Gussleimzusatz eingesetzten und einer 25%igen verflüssigten Krackproduktion (Flüssig-Kratz, Flüssig-Kratzschmelze) durchgeführt. Der Stahlkrafft-Dach wurde über Dach gelöscht. Der Bruchgrad der Lagerung wurde Anteilsweise ermittelt.

Die Regeneration des Krackzweiges erfolgte nach W. Spillings den Obers durch Abbrechen mit Löffel um jeweils soviel N<sub>2</sub> abgetrennt zu werden, daß eine Höchsttemperatur von 35 mV (640°C) nicht überschritten wurde. Der Ofen hat 5 Einführungsteile für Regenerationsschütt. Die Löffel wird in einem Aufheizer auf die 20,5 mV (400°C) Antrittstemperatur vorwärmt.

Katalysatoren: Es wurde eine Katalyse zur Zersetzung von Estern hergestellt (K 6752-Chrys. 10% am Füller). Über die Beziehungen zwischen dem Katalysator und die Versuche berichtet.

AUS

	Bruchgrad R 5752	Bruchgrad K 6108
1. Ausführung	0,613	0,348
2. Ausführung	0,600	0,50
3. Ausführung	1,170	1,05
4. Ausführung	1,120	1,0
5. Ausführung	1,00	11,0
6. Ausführung	1,00	3,0
7. Ausführung	1,00	1,4
8. Ausführung	33,2	74,0
9. Ausführung	10,0	84,9
10. Ausführung	1,1	34,0
11. Ausführung	1,03	3,0

Diese Öle entsprechen in ihrer Beschaffenheit ziemlich genau den auch für die Staubkontaktversuche benutzten, sodaf die Ergebnisse in dieser Hinsicht ohne weiteres vergleichbar sind.

### Unterschiede der Verfahren:

Abgesehen von kleinen Unterschieden in der Fahrtemperatur (beim Staubkatalysator wird meistens mit höherer Temperatur gefahren) und apparativ bedingten Verschiedenheiten bestehen die Hauptunterschiede

- a) in der Verweilzeit des Katalysators im Oldampf
- b) im Verhältnis von Ölmenge: Katalysatormenge/Zeiteinheit

Ad a) Beim Staubverfahren ist die Verweilzeit von Öl und Katalysator im Krackraum gleich, sie hängt ab von der Geschwindigkeit des Staubstromes und dem Volumen des Krackraumes. Die Verweilzeit ist bei einer gegebenen Größe des Krackraumes nach unten begrenzt durch den an der engsten Stelle der Apparatur (Krackschlange) sich einstellenden Leitungswiderstand oder durch Verminderung des Ölumsatzes unter eine bestimmte noch wirtschaftliche Höhe. Nach oben ist ihr durch die Fallgeschwindigkeit des Katalysatorstaubes und durch evtl. Überkracking eine Grenze gesetzt. In der Praxis arbeitet man mit Verweilzeiten des Staub-Dampfgemisches im Krackraum von <1 Minute.

Die Länge der als Krackzyklus bezeichneten Periode beträgt also bei der Staubfahrweise nur Bruchteile von Minuten. Das Verfahren müste daher am vorteilhaftesten mit Katalysatoren hoher Anfangsaktivität und -selektivität, die natürlich ohne Aktivitätseinbuße regenerierbar sein müssen, arbeiten.

Reaktionen, die bei der vorhandenen Temperatur und Katalysatorkonzentration zu ihrem Ablauf mehr Zeit als etwa 1 Minute erfordern, oder die nur durch einen länger als etwa 1 Minute im Reaktionsraum vorhanden gewesenen Katalysator (Kokawirkung) ausgelöst werden, können demnach beim Staubverfahren nicht auftreten. (Produktionsunterschiede!)

Beim Fahren über festangeordneten Katalysator bleibt der Katalysator 10 bis 60 Minuten (evtl. noch länger) im Oldampf, bei einer Verweilzeit des Oldampfes im Krackraum von ca. 10 bis 150 Sek. Der Katalysator muß also hier bei z.B. 15 Minuten-Zyklen und einer Verweilzeit des Oldampfes im Krackraum von 30 Sek. (entsprechend einem Oldurchsatz von 0,5 Vol/Vol/Std. bei 420°C) bei gleicher Leistung die 30 fache Menge Öl umsetzen gegenüber der Staubfahrweise mit 30 Sek. Verweilzeit.

Unter der - wohl ziemlich richtigen - Voraussetzung, daß die praktisch erreichbaren Ölumsätze bei beiden Verfahren gleich sind, erfordert daher die Fahrweise mit fest angeordnetem Kontakt Katalysatoren hoher Dauereaktivität und -selektivität. Es ist also durchaus nicht gesagt, daß ein für die eine Fahrweise bewährter Katalysator auch für die andere gut ist.

Ad b) Beim Staubverfahren verhält sich die im Krackraum je als vorhandene Ölmenge zur Katalysatormenge konstant etwa wie 1:2 bis 1:20 (gewichtsmässig), d.h. die Katalysatorkonzentration ist relativ klein. Beim Fahren über fest angeordneten Kontakt ist dies Verhältnis ganz anders. Beispielsweise enthält ein 90 Liter-Ofen ca. 31 kg Katalysator (Schüttgewicht = 0,62). Bei Durchatz 1 Vol/Vol/Std. verhält sich die in 10 Sek. durchgesetzte Ölmenge ( $D = 0,920$ ) (entsprechend einer Verweilzeit beim Staubverfahren von 10 Sek.) zur gleichzeitig vorhandenen Katalysatormenge wie 1:272. Die Katalysatorkonzentration im Krackraum wäre demnach hier ca. 14 bis 140 mal höher.

Unter gleichen Verhältnissen würde bei 30 Sek./. Cyklen (entsprechend einer Verweilzeit beim Staubverfahren von 30 Sek.) das Konzentrationsverhältnis ca 1:90 betragen.

Während beim Staubverfahren, aber beispielsweise alle 10 bis 30 Sek. frischer Katalysator in den Krackraum gelangt, geschieht dies bei fest angeordnetem Kontakt, erst alle 15 - 60 Min. (900-3600 Sek.). Die Cyklusdauer bei fest angeordnetem Kontakt ist also 30 bis 360 mal länger, d.h. aber, daß fest angeordnete Katalysatoren, auf gleiche Öl : Katalysatorkonzentration bezogen, aktiver sein müssen als staubförmig verwendbare, wenn beide Verfahren bei gleicher Temperatur und gleichem Durchatz den gleichen Umsatz geben sollen, denn 14 - 140 mal höhere Katalysatorkonzentration erlaubt 30 - 360 mal längere Cyklen oder das Verhältnis der Katalysatoraktivitäten ist ca 1:2,15 bis 1:2,60, wobei vorausgesetzt ist, daß das Verhältnis Spitzen-Daueraktivität bei beiden Katalysatoren gleich ist.

### 1.) Versuche mit Reitbrook Gasöl (P 1338) 193 - 350°G.

#### a) Einfluß der Temperatur

P 1338  
Du = 0,5 Vol/Vol/Std.

K 6752  
15 Min. Cyklusdauer

Temperatur	Gew.% Mittelölumsatz	(Gew.% x) Benzin - 180°	Gew.% (xx) Bi-165 (stab.)
420°	54,5	39,8	31,6
450°	47,0	34,4	28,5
<u>    Du = 0,5 Vol/Vol/Std.</u>			30 Min. Cyklusdauer
420°	41,0	32,0	26,9
450°	43,2	35,2	28,6

x) Gew.% Bi - 180° = siedegerechtes Auto-Benzin (39% - 100°) von richtigem Dampfdruck bezogen auf Einspritzung

xx) Gew.% Benz - 165° = O<sub>2</sub>-freies Benzin bezogen auf Einspritzung

Auffallenderweise sinken Mittelölumsatz und % Bensig bis 180° und 165° bei Steigerung der Kracktemperatur von 420° auf 450° in 15 Minuten Cyklen. Da bei 420° die Kokemenge (als Differenz bestimmt) 8,2 %, bei 450° aber nur 5,8 % betrug, wäre bei 420° ein Verlust an Rückstandsmittelöl denkbar. In einem solchen Fall würden aber die bei 420° erhaltenen % Bensin noch weiter ansteigen. Wenn keine Versuchsfehler vorliegen, müßte ein Umsatzminimum durchlaufen werden. Bei 30 Minuten Cyklen steigen sowohl Mittelölumsatz wie % Bensin mit der Kracktemperatur an (s. Kurvenblatt 1).

### b) Einfluß des Durchsatzes (Verweilzeit)<sup>x)</sup>

P 1338		K 6752	
420°		15 Minuten	
Dt (Verw.Zt.)	% Mittelöl- umsatz	% Bi - 180°	% Bi - 165° (stab.)
0,2 (76 Sek.)	60,5	43,3	36,0
0,5 (30,5 Sek.)	54,5	39,8	31,6
1,0 (15 Sek.)	35,0	27,5	21,2
420°		30 Minuten	
0,5 (30,5 Sek.)	41,0	32,0	26,9
1,0 (15 Sek.)	26,6	23,5	17,2

Durchsatzerhöhung, entsprechend Verringerung der Verweilzeit der Oldämpfe im Krackraum führt bei 15 und 30 Minuten Cyklen zu Umsatzveränderungen und Abnahme der Bensinausbeuten entsprechend Kurvenblatt 2 und 2 a.

### x) Dorochnot nach:

$$\frac{273 \times \text{Kat.Vol. in } \text{cc} \times \text{Vers.Dauer in Sek.}}{\text{Vors.Temperatur in } K \times \text{Ol (gasförm.) in Norm cc}} = \text{Sek/}\text{Kat.Raum}$$

a) Einfl. d. der Cyklus-Länge

P 1338

6752

420°

Du = 0,5

Dauer (Minuten)	% Mittelbl- umsatz	% B1 - 180°	% B1 - 165° (stab.)
15	54,9	39,8	31,6
30	41,0	32,0	26,9
60	34,3	28,4	21,7

420°

Du + 1

15	35,0	27,4	21,2
30	26,6	23,5	17,2

450°

Du = 0,5

15	47,0	34,4	28,5
30	43,2	35,2	28,6

Steigerung der Cyklus-Länge führt in allen Fällen zu Umsatzaufniedrigung. Bei 450° und Durchsatz = 0,5 bleibt die Benzinausbeute bei Übergang von 15 auf 30 Minuten cyclen konstant. In den anderen Fällen sinkt sie ab, entsprechend Kurvenblatt 3.

2.) Versuche mit Bruchsalter Gasöl (P 1203) 172 - 351°O.a) Einfluß der Temperatur

P 1203 K 6752

Du = 0,5 15 Minuten

Temperatur	% Mittelöl-umsatz	% Bi - 180°	% Bi - 165° (stab.)
400°	40,3	28,4	21,9
420°	39,6	32,4	21,5
440°	45,5	37,2	29,2

Temperatursteigerung von 400° auf 420° führt auch hier zu einer kleinen Umsätzminderung. Die Ausbeute an 180er Benzin steigt dabei aber an. Die 165er Benzinnmenge wird kaum verändert. Weitere Temperaturerhöhung auf 440° führt zu stärkerem Umsatz und höheren Benzin-Ausbeuten. Bei geringerem Umsatz sind die Benzinausbeuten besser als bei Reitbrook Gasöl P 1338. (Kurvenblatt 4).

b) Einfluß des Durchsatzes (Verweilzeit)

P 1203 K 6752

440° 15 Minuten

Du (Vorweil-Zt.)	% Mittelöl-umsatz	% Bi - 185°	% Bi - 165° (stab.)
0,3 (31 Sek.)	57,0	42,4	-
0,5 (30,5 Sek.)	45,5	37,2	29,2

Durchsatz erhöhung (Verkürzung der Verweilzeit) führt zu Absinken des Umsatzes und der Benzin-Ausbeute (Kurvenblatt 5, 5a).

Produktverteilung in Abhängigkeit von den Versuchsbedingungen.

a) Vom Umsatz (bei gleicher Temperatur)

Während mit zunehmender Bi-180°-Konzentration bei P 1338 die Flüssig- und Koksmengen stark ansteigen, nehmen die Trocken-gasmengen im Bereich kleiner Benzin-Konzentrationen (bis ca. 30 % Benzin) etwas zu. Bei Benzin-Konzentrationen über 30 % bleibt die Trockengasmenge gleich. (Kurvenblatt 6, 6a).

Bi-Konz. -180	% Mittl. öl Umsatz	Trocken- gas	Flüssig- gas	Koks	Benzin 180°	Benzin 165°	Tro.Gas+ Koks(Bi (180°))+ Fl.Gas+	Gesamt- Gas + Koks Bi -180°
24 %	26,6	0,3	1,8	1,0	23,5	17,2	4,9%	11,6%
29,8 %	34,3	0,5	2,7	2,7	28,4	21,7	9,4%	17,2%
33,8 %	41,0	1,2	3,4	4,4	32,0	26,9	13,6%	22,0%
46 %	54,5	0,8	5,7	8,2	39,8	31,6	16,5%	27,0%
50,0 %	60,3	1,1	8,2	7,9	43,3	36,0	14,9%	28,4%

Die verschiedenen Umsätze bei gleicher Krücktemperatur wurden durch Variation des Durchsatzes (von 0,2 bis 1,0) und der Cyklus-Länge (von 15 bis 60 Minuten) erhalten.

Für P 1203 gilt bei Benzinkonzentrationen zwischen 40 und 50 % das für P 1338 gefundene Verhalten ebenfalls. Gefahren wurde hier in 15 Minuten Cyklen bei Durchsatz = 0,5 bzw. 0,3.

P 1203			440°			K 6752		
Bi-180°	% Mittl. öl Umsatz	Trocken- gas	Flüssig- gas	Koks	Benzin 180°	Benzin 165°	Tr.Gas+ Koks(Bi (180°))+ Fl.Gas+	Gesamt- Gas+Koks Bi -180°
39,7 %	45,5	1,0	4,9	2,4	37,2	29,2	7,5 %	18,3 %
48,8 %	57,0	1,0	8,3	5,3	42,3	-	11,2 %	25,7 %

b) von der Temperatur (Kurvenblatt 7, 7a)

Steigende Temperatur führt (bezogen auf gleichen Umsatz) bei P 1338 zu einer nur geringen Zunahme des Trockengases, jedoch zu starker Zunahme des Flüssiggasanfalls. Die Koksmenge nimmt mit Steigerung der Kracktemperatur beträchtlich ab.

P 1338                  Du = 0,5                  30 Minuten                  K 6752

Temperatur	% Mi'81 Umsatz	Trocken-gas	Flüssig-gas	Koks	Benzin 180°	Benzin -165	Tr.Gas+ Koks/B1 (180°)+ Fl.Gas+	Gesamt-Gas+Koks/ B1(180°)+ Fl.Gas+
420°	41 %	1,2 %	3,4 %	4,4 %	32,0	26,9	13,6 %	22,0 %
450°	43,2%	1,3 %	4,7 %	2,0 %	35,2	28,6	7,7 %	18,5 %

Für P 1203 gilt (auf gleichen Umsatz bezogen) etwa das-selbe wie für P 1338.

P 1203                  Du = 0,5                  15 Minuten                  K 6752

Temperatur	% Mi'81 Umsatz	Trocken-gas	Flüssig-gas	Koks	Benzin -160	Benzin -165	Tr.Gas+ Koks/B1 (180°)+ Fl.Gas+	Gesamt-Gas+Koks/ B1(180°)+ Fl.Gas+
420°	39,6	0,4	2,2	4,6	32,4	21,5	12,6 %	18,2 %
440°	45,5	1,0	4,9	2,4	37,2	29,2	7,5 %	18,2 %

Produktionsqualität in Abhängigkeit von den Versuchsbedingungen.

a) vom Umsatz (bei gleicher Temperatur) (Kurvenblatt 8)

P 1338                  420°                  K 6752

Bi-Koks -160	Mi'81 Umsatz	Benzin -70	Benzin -100	Benzin -165° (0°-frei)	Jod- -2	O.Z.	Benzin -100°	Benzin -160° (stab.)	Jod- -2.	O.Z.	b-Mi'81 18 A.P.
24,0	26,6	9,5	41,5	57,8	73,5	36,0	67,2	74,5			52,5°
29,8	34,3	10,5	40,5	48,2	75	38,0	50,2	76,0			48°
33,8	41,0	11,0	43,5	51,9	75,5	43,0	34,6	77,5			42,5°
46,0	54,5	17,0	46,0	19,6	77,5	42,5	57,6?	79,3			36,5°
50,8	60,5	21,0	49,5	16,1	76	40,5	34,3?	77,2			31°

Mit steigender Benzins- (180°)-Konzentration wächst die Flüchtigkeit der 165° Benzine aus P 1338. Die 180° Benzine nehmen bei Konzentrationen über 40 % in der Flüchtigkeit wieder etwas ab.

Die Jod-Zahlen beider Benzine nehmen mit steigendem Umsatz anfänglich stark, dann schwächer ab. (Die drei mit ? bezüglichen Werte sind offenbar Fehlbestimmungen). Die O<sub>2</sub>-freien 165° Benzine haben niedrigere Jod-Zahlen als die 180° Benzine.

Die Oktan-Zahl erreicht bei etwa 55 % Mittelölumsatz ein Maximum.

Der Anillinpunkt des Krack-b-Mittelöls fällt mit steigendem Umsatz.

#### Benzin-Zusammensetzung

Bi-Konz. -180	Mi Öl Umsatz	Benzin % Paraf- fin	Benzin -165° % Naph- then	(C <sub>4</sub> -frei) % Aro- maten	% Ole- fin	Benzin -180° % Paraf- fin	% Naph- then	(stab.) % Aro- maten	% Olefin
24,0	26,6	52,5	15,5	26,0	6,0	53,5	13,5	27,5	5,5
29,8	34,3	49,5	18,5	35,0	7,0	54,0	14,5	27,0	4,5
33,8	41,0	54,0	18,0	24,0	4,0	54,0	13,5	26,0	6,5
50,8	60,5	51,5	17,0	24,5	7,0	50,0	15,0	28,0	7,0

Die Zusammensetzung der bei gleicher Temperatur aus P 1338 erhaltenen Benzine ist vom Umsatz nahezu unabhängig. Dies gilt ganz besonders hinsichtlich des Aromatengehaltes.

P 1203

440°

K 6752

Bi-Konz. -180	Mi Öl Umsatz	Benzin -165° % 70°	Benzin -165° % 100°	(C <sub>4</sub> -frei) Jod-Z. O.Z.	Benzin -180° % 100°	Jod-Z. O.Z.	(stab.) b-Mi'81 >180° A.R.
39,7	45,5	15,5	45,5	32,0	73	38,0	26,8
48,8	57,0	-	-	-	-	43,5	25,0

Bei P 1203 liegen für diesen Vergleich nur wenige brauchbare Zahlen vor, doch dürften hier im allgemeinen die gleichen Gesetzmäßigkeiten gelten wie bei P 1338. Die Jodzahl des 165°-Benzins ist hier höher als die des entsprechenden 180°-Benzins. Die Oktanzahl der Benzine liegt erneut unter den P 1338-Benzinen.

b) von der Temperatur (Kurvenblatt 9)

P 1338

Du = 0,5

30 Minuten

K 6752

Temperatur	b-Mi'öl		Benzin - 165° (C <sub>8</sub> -frei)		Benzin - 180° (stab.)		b-Mi'öl		
	Umsatz	%-70	%-100	Jod-Z.	O.Z.	%-100	Jod-Z.	O.Z.	>180° A.P.
420°	41,5	11,0	43,5	51,99	75,5	43	34,6	77,5	42,5°
450°	43,25	12,5	43,5	41,4	77,6	44	41,1	77,9	39°
				§Par. §Naph.	Bi-165° Arom. Olef.		§Par. §Naph.	Bi-180° Arom. Olef.	
420°	41,5	54,0	18,0	24,0	4,0	54,0	13,5	26,0	6,5
450°	43,25	48,0	14,5	33,0	4,5	48,0	13,0	32,5	6,5

P 1203

Du = 0,5

15 Minuten

K 6752

Temperatur	Mi'öl		Benzin - 165° (C <sub>8</sub> -frei)		Benzin - 180° (stab.)		b-Mi'öl		
	Umsatz	%-70	%-100	Jod-Z.	O.Z.	%-100	Jod-Z.	O.Z.	>180° A.P.
420°	39,6	14,5	44,0	23,1	71	36,0	21,8	75	12°
440°	45,5	15,5	45,5	32,0	73	38,0	26,8	71,5	60°
				§Par. §Naph.	§Arom. Olef.		§Par. §Naph.	§Arom. Olef.	
				Benzin - 165°		Benzin - 180°			
420°	39,6	61,0	15,5	18,5	5,0	61,5	13,5	18,5	6,5
440°	45,5	56,5	12,5	24,0	7,0	57,5	8,5	26,0	8,0

Bei beiden Ölen wächst mit steigender Kracktemperatur Flüchtigkeit und Jod-Zahl der Benzine, ebenso (bis auf eine Ausnahme, bei der wohl Überschneidung der Benzin-Siedekurve mit der Siedekurve des Einspritzöls vorliegt) die Oktanzahl.

Eine weitere Folge der Temperaturerhöhung ist in allen Fällen ein starkes Ansteigen der Aromaten auf Kosten der Paraffine und Naphtheno. (s.a.Ber.19580 1 Fr. v.20.11.41).

Der Anilinpunkt des b-Mittelöls ändert sich auf gleichen Umsatz beobachten, kaum mit der Temperatur.

000752

Gaszusammensetzung.

i) in Abhängigkeit vom Umsatz (Kurvenblatt 10 und 11)

Die Zusammensetzung der gasförmigen Reaktionsprodukte wurde durch Podbielniak Analyse ermittelt. Die  $C_5$ - und höheren Kohlenwasserstoffe, die in geringer Menge im Gas vorhanden sind, wurden dem Benzin zugeschlagen und erscheinen in den folgenden Tabellen nicht.

P 1338

420°

K 6752

Bi-Konz. -180	%M1'01 Umsatz	% H <sub>2</sub>	%CH <sub>4</sub>	%C <sub>2</sub> H <sub>6</sub>	%C <sub>3</sub> H <sub>8</sub>	%C <sub>4</sub> H <sub>10</sub>	%nC <sub>4</sub> H <sub>10</sub>	%C <sub>2</sub> H <sub>4</sub>	%C <sub>3</sub> H <sub>6</sub>	%C <sub>4</sub> H <sub>8</sub>	%Olef.
24 %	26,6	0,02	0,02	0,14	0,37	0,63	0,06	0,13	0,50	0,24	0,87
29,4%	34,3	0,05	0,05	0,25	0,45	1,18	0,09	0,17	0,60	0,31	1,08
33,8%	41,0	0,05	0,13	0,46	0,49	1,60	0,21	0,58	0,30	0,76	1,64
46,0%	54,5	0,08	0,06	0,44	1,12	3,05	0,17	0,26	0,87	0,37	1,50
50,5%	60,5	0,06	0,06	0,81	2,07	4,73	0,41	0,27	0,69	0,27	1,23

Das Verhältnis Trockengas : Flüssiggas bei den einzelnen Versuchsbedingungen geht bereits aus den Kurvenblättern 6, 6a und 7, 7a hervor. Die Trockengasmenge ist im Vergleich zum Flüssiggas gering.

Bei P 1338 (Kurvenblatt 10) steigt der Anteil der gesättigten Kohlenwasserstoffe (linke Seite des Blattes) mit Ausnahme von CH<sub>4</sub> mit steigendem Umsatz (Benzin 180°-Konzentration) an und zwar um so höher, je C-reicher diese Kohlenwasserstoffe sind (Ausnahme n-C<sub>4</sub>H<sub>10</sub>). Die H<sub>2</sub>- und CH<sub>4</sub>-Bildung ist in allen Fällen gering, sie beträgt meist weniger als 0,1%, bezogen auf Einspritzung. Den mengenmäßig größten Einzelanteil der Vergasung stellt das C<sub>4</sub>H<sub>10</sub> dar.

Die ungesättigten Kohlenwasserstoffe (rechte Seite des Blattes) durchlaufen bei steigendem Umsatz ein Maximum das bei etwa 35% Benzin (180°)-Konzentration liegt. (Ausnahme: C<sub>2</sub>H<sub>4</sub>). Der Anteil der gesättigten Kohlenwasserstoffe ist erheblich größer als der der ungesättigten. Über die Mengenverhältnisse geben Tabelle und Kurvenblatt erschöpfende Auskunft.

P 1203

440°

K 6752

Bi-Konz. -180	%M1'01 Umsatz	% H <sub>2</sub>	%CH <sub>4</sub>	%C <sub>2</sub> H <sub>6</sub>	%C <sub>3</sub> H <sub>8</sub>	%C <sub>4</sub> H <sub>10</sub>	%nC <sub>4</sub> H <sub>10</sub>	%C <sub>2</sub> H <sub>4</sub>	%C <sub>3</sub> H <sub>6</sub>	%C <sub>4</sub> H <sub>8</sub>	%Olef.
39,7	45,5	0,05	0,03	0,59	0,88	2,35	0,40	0,36	0,69	0,61	1,66
48,8	57,0	0,05	0,19	0,59	2,75		4,80	0,18	0,38	0,15	0,91

Für P 1203 liegen im Bereich niedriger Umsätze keine Werte vor. Bei Benzjn (180°)-Konzentrationen zwischen 40 und 50% herrschen ähnliche Verhältnisse wie bei P 1338 (Ausnahme:  $\text{CH}_4$ ), sodaß die Wahrscheinlichkeit besteht, daß im Bereich niedriger Konzentrationen ebenfalls ähnliche Verhältnisse gelten. (Kurvenblatt 11).

Tabelle und Kurvenblatt geben über die zahlreichen Verhältnisse auch hier Auskunft.

b) in Abhängigkeit von der Temperatur (Kurvenblatt 12).

Die gesättigten Kohlenwasserstoffe und der  $\text{H}_2$  der Gasung steigen mit steigender Temperatur zu und zwar die höhermolekularen mehr als die niedrigmolekularen. Eine Ausnahme bildet  $\text{C}_4\text{H}_{10}$ , dessen Menge sich bei P 1338-Spaltung bei Temperatursteigerung von 420° auf 450° nicht steigert. Von den ungesättigten Kohlenwasserstoffen nimmt nur das  $\text{O}_3\text{H}_6$  stark an Menge zu, während  $\text{O}_2\text{H}_4$  und  $\text{C}_4\text{H}_8$  mit Temperatursteigerung abnehmen. Die  $\text{O}_3\text{H}_6$ -Zunahme ist über erheblich größer als die Abnahme von  $\text{O}_2\text{H}_4 + \text{C}_4\text{H}_8$ , sodaß der Gesamtgehalt an ungesättigten Gasen bei Erhöhung der Spalttemperatur von 420° auf 450° bei P 1338 von 1,64% auf 2,23% (bezogen auf eingespritztes Öl) ansteigt.

P 1338                          ca. 34% Be mit  $\approx 180^\circ$  a. Einspritz.                  X 6752

Temp.	% H <sub>2</sub>	% H <sub>2</sub>	% CH <sub>4</sub>	% C <sub>2</sub> H <sub>6</sub>	% C <sub>3</sub> H <sub>8</sub>	% C <sub>4</sub> H <sub>10</sub>	% uC <sub>4</sub> H <sub>10</sub>	% C <sub>2</sub> H <sub>4</sub>	% C <sub>3</sub> H <sub>6</sub>	% C <sub>4</sub> H <sub>8</sub>	% Olefin
420°	41%	0,05	0,13	0,44	0,49	1,60	0,21	0,58	0,30	0,76	1,64
450°	43,2%	0,08	0,15	0,60	1,02	1,60	0,32	0,44	1,19	0,60	2,23

Bei Verarbeitung von P 1203 steigt die Menge aller ungesättigten Reaktionsprodukte mit Erhöhung der Spalttemperatur von 420° auf 440°. Am stärksten ist die Zunahme beim  $\text{C}_4\text{H}_{10}$ .

P 1203                          D. = 0,5                          15 Minuten                  X 6752

Temp.	% H <sub>2</sub>	% H <sub>2</sub>	% CH <sub>4</sub>	% C <sub>2</sub> H <sub>6</sub>	% C <sub>3</sub> H <sub>8</sub>	% C <sub>4</sub> H <sub>10</sub>	% uC <sub>4</sub> H <sub>10</sub>	% C <sub>2</sub> H <sub>4</sub>	% C <sub>3</sub> H <sub>6</sub>	% C <sub>4</sub> H <sub>8</sub>	% Olefin
420°	39,6	0,02	0,01	0,21	0,51	0,95	0,12	0,14	0,13	0,18	0,75
440°	45,5	0,07	0,03	0,59	0,85	2,35	0,40	0,35	0,69	0,61	1,66

Vergleich: Staubfahrweise (K 6108) gegen festgeordneten K 6752

1) Ausbeute bei vergleichbarem Umsatz (Kurvenblatt 13)

a) P 1338 Reitbrook Gasöl

Bei etwa gleicher Mittelumsatz ergeben sich für beide Verfahren folgende Ausbeuten an Benzin:

Vorfahren	% Mittelöl Umsatz	Benzin -180°	Benzin -150° bzw. 165°
Staub (6108)	41,6	27,5	18,9
	51,5	31,7	22,7
Fest (6752)	41,0	32,0 (30,4)	26,9
	43,2	35,2 (33,4)	28,6
	54,5	39,8 (37,8)	31,6

b) P 1203 Brücksegler Gasöl

Verfahren	Mitt. 180° Umsatz	Benzin -180°	Benzin -150° bzw. 165°
Staub (6108)	37,3	30,2	17,9
	42,4	33,1	20,5
	45,5	34,8	21,9
	45,8	36,1	23,2
	47,5	33,6	22,5
Fest (6752)	39,6	32,4 (30,8)	21,5
	40,3	28,4 (27,0)	21,9
	45,5	37,2 (35,3)	29,2
	57,0	42,4 (40,3)	

Dannach gibt der festgeordnete K 6752 gegenüber dem staubförmigen K 6108 bei Verarbeitung von P 1338 Gasöl bei gleichen Mittelölumsatz bessere Benzinausbeuten (-180°).

Beurücksichtigt man, daß das 180° Benzin der Staubfahrweise C<sub>4</sub>-frei, das vom K 6752 aber nur stabilisiert ist und noch ca. 5 % C<sub>4</sub> enthält, so muß man un exakt vergleichen zu können, diese C<sub>4</sub> Menge in Abrechnung bringen, sobald man die einsecklammerten Zahlen erhält. Auch dann ist der festgeordnete K 6752 noch im Vorteil.

Für P 1203 Gasöl ist ausbeutemäßig kein nennenswerter Unterschied zwischen den beiden Verfahren vorhanden, wenn man die Zahlen für C<sub>4</sub>-freies 180° Benzin vergleicht.

### 2) Produktverteilung bei vergleichbaren Umsätzen.

#### a) P 1338 Gasöl

Verfahren	% Mitt' 51 Umsatz	% Benzijn -180	% Trocken-gas	% Flüssig-gas	Koks	Tr.Gas+Koks (Bi(180) + Fl.Gas +	Ges.Gas + Koks/Benzin (180) +
Staub (6108)	26,2	18,4*	1,0	4,6	2,2	12,2	29,8
	52,1	32,0	1,9	8,8	9,4	21,7	38,6
	46,9	30,0	1,7	8,0	7,2	19,0	36,0
Fest (6752)	26,6	23,5(22,3)	0,3	1,8	1,0	4,9	11,6
	54,5	39,8(37,8)	0,8	5,7	8,2	16,6	27,0
	43,2	35,2(33,4)	1,3	4,7	2,0	7,7	18,5

#### b) P 1203 Bruchsaler Gasöl

Staub (6108)	45,8	36,1	0,86	6,5	2,3	6,9	21,2
Fest (6752)	45,3	37,2(35,3)	1,0	4,9	2,4	7,5	18,3

Fest angeordneter K 6752 gibt bei Verarbeitung von P 1338 Gasöl günstigere Produktverteilung als staubförmiger K 6108 (Kurvenblatt 14). Bei P 1203 Gasöl sind zwischen den beiden Verfahren auch in der Produktverteilung bei vergleichbarem Umsatz keine ins Gewicht fallenden Unterschiede vorhanden. K 6752 gibt etwas weniger Flüssig-gasanfall.

### 3.) Produktqualität bei vergleichbaren Umsätzen.

#### a) P 1338 Gasöl

Verfahren	% Mittel' 51 Umsatz	Benzine -150° x) x -70	bzw. 165° xx) x -100°	Jod-Z. Oktan-Z.	p-Mitt' 51 > 190° A.P.
Staub (6108)	38,9	-	57	82	41
	52,1	-	65,5	68	37,5°
Fest (6752)	34,3	10,5	40,5	48,2	48
	41,0	11,0	43,5	51,9%	42,5°
	54,5	17,9	46,0	19,6	36,5°

x) E der Benzine vom Staubverfahren

xx) E der Benzine vom festangeordnetem K 6752

006756

b) P 1203 Gumöl

Verfahren	Mittelöl Umsatz	Benzin -150° x), bzw. -160° xx)				b-Mittelöl >180° A.P.
		-70	-100	Jod-Z.	Oktan-Z.	
Staub (6108)	46,9	22	51	70	74,2	60°
Pent (6752)	45,5	15,5	45,5	32	73	60°

Die größten Unterschiede zwischen den beiden Verfahren liegen offensichtlich in der Produktqualität und zwar bei beiden Mittelölen (P1338 und P 1203). Die Benzine des Staubverfahrens sind flüchtiger (mehr < -100°), selbst unter Berücksichtigung ihres niedrigeren Siedepunktes, als die über festgeordnetem K 6752 erhaltenen und haben wohl daher eine um 1 bis 2 Punkte höhere Oktan-Zahl.

Erheblich höher sind die Jod-Zahlen der Benzine des Staubverfahrens.

Der Anilinpunkt der b-Mittelöle >180° weist bei beiden Verfahren bei gleichen Umsatz keine erheblichen Unterschiede auf (Kurvenblatt 15).

#### Verarbeitung von K 6752-Krackbenzin nach dem DHD-Verfahren.

Eine größere Menge K 6752-Krackbenzin mit E = 175° aus Bruchsaler Gasöl (P 1203) ist inzwischen fertiggestellt und an Dr. Donath zur Weiterverarbeitung nach dem DHD-Verfahren gegeben worden. Über die Ergebnisse der Versuche wird gesondert berichtet.

#### Ergebnisse der Einzelversuche.

Die für die Zusammensetzung erforderlich gewesenen Einzelversuche und ihre Ergebnisse sind in den angehängten Tabellen 1 - 5 zusammengestellt. Eine nähere Erläuterung dieser Tabellen dürfte sich erübrigen.

Das in Tabelle 1, Spalte 1 angeführte C-freie 165-er Benzin (31,6% bezogen auf Einspritzung) aus P 1338 wurde noch zusätzlich in eine Fraktion -150° und einen Rückstand >150° zerlegt. Hierbei wurden 87,3% eines 150-er Benzins (entsprechend 27,6% C-freies 150-er Benzin bezogen auf Einspritzung) erhalten. Das 150-er Benzin hatte folgende Eigenschaften:

Spez. Gewicht	0,724
Anilinpunkt	42°
Benzing	50°
-70°	22,0 x
-100°	58,0 x
-120°	77,0 x
-140°	92,0 x
Endpunkt = 150°	99,0 x
RU	1 x

Der über 150° siedende Rückstand hatte ein spez. Gewicht von 0,818 und Anilinpunkt = 140°.

x) x de: Benzine vom Staubverfahren

xx) C der Benzine vom festgeordnetem K 6752

Tabelle 1Ergebnisse der Einzelversuche

066757

a) mit P 1338 Reitbrook Gasöl

Spalte	1	2	3	4	5	6	7	8
Temperatur °C	420°	420°	420°	420°	420°	450°	450°	420°
Du (V/V/Std.)	0,5	0,5	0,5	1,0	1,0	0,5	0,5	0,2
Dauer (Minuten)	15	30	60	15	30	15	30	15
% Benzin -180°	39,8	32,0	28,4	27,5	23,5	34,4	35,2	43,3
% Mittelöl >180°	45,5	59,0	65,7	65,0	73,4	53,0	56,8	39,5
% Gas	6,5	4,6	3,2	2,4	2,1	6,8	6,0	9,3
% Koks + Verlust	8,2	4,4	2,7	5,1	1,0	5,8	2,0	7,9
<u>Podbi-Analyse</u>								
% Benzin -165° (C <sub>4</sub> -frei)	31,6	26,9	21,7	21,2	17,2	28,5	28,6	36,0
% Mittelöl >165°	50,7	62,0	70,1	67,8	78,3	56,1	60,4	44,3
% C <sub>4</sub> v. Stab.	3,0	2,2	2,3	3,5	1,4	2,8	3,0	2,5
% Gas	6,5	4,6	3,2	2,4	2,1	6,8	6,0	9,3
% Koks + Verlust	8,2	4,4	2,7	5,1	1,0	5,8	2,0	7,9
% CH <sub>4</sub>	0,06	0,13	0,05	0,04	0,02	0,15	0,15	0,00
% C <sub>2</sub> H <sub>4</sub>	0,26	0,58	0,17	0,14	0,13	0,31	0,44	0,27
% C <sub>2</sub> H <sub>6</sub>	0,44	0,46	0,25	0,14	0,14	0,50	0,60	0,81
% C <sub>3</sub> H <sub>6</sub>	0,87	0,30	0,60	0,50	0,50	0,86	1,19	0,69
% C <sub>3</sub> H <sub>8</sub>	1,12	0,49	0,45	0,40	0,37	1,58	1,02	2,07
% C <sub>4</sub> H <sub>8</sub>	0,37	0,76	0,31	0,29	0,28	0,69	0,60	0,27
% C <sub>10</sub> H <sub>10</sub>	3,05	1,60	1,18	0,77	0,63	2,39	1,60	4,73
% aC <sub>4</sub> H <sub>10</sub>	0,17	0,21	0,09	0,08	0,06	0,24	0,32	0,41
% H <sub>2</sub>	0,08	0,05	0,05	0,02	0,02	0,07	0,08	0,06
Summe %	6,42	4,58	3,15	2,38	2,11	6,79	6,00	9,31
% C <sub>10</sub> H <sub>10</sub> in aC <sub>4</sub> H <sub>10</sub>	95,0	88,1	93,0	90,7	91,0	90,8	83,4	92,2

Tabelle 2

000758

Ergebnisse der Einzelversuche.

b) mit P 1203 Bruchsaler Gasöl

Spalte	1	2	3	4
Temperatur °C	400°	420°	440°	440°
Du (V/V/Stdn.)	0,5	0,5	0,5	0,3
Dauer (Minuten)	15	15	15	15
% Benzin -180°	28,4	32,4	37,2	42,4
% Mittelöl >180°	59,7	60,4	54,5	43,0
% Gas	2,2	2,6	5,9	9,3
% Koks + Verl.	9,7	4,6	2,4	5,3
% Benzin -165° (O <sub>4</sub> -frei)	21,9	21,5	29,2	
% Mittelöl >165°	63,1	68,4	57,9	
% O <sub>4</sub> v.Stab.	3,1	2,6	4,6	
% Gas	2,2	2,6	5,9	
% Koks + Verl.	9,7	4,6	2,4	
<u>Podbi-Analyse</u>				
% CH <sub>4</sub>	0,01	0,01	0,03	0,19
% C <sub>2</sub> H <sub>4</sub>	0,14	0,14	0,36	0,18
% C <sub>2</sub> H <sub>6</sub>	0,19	0,21	0,59	0,59
% C <sub>3</sub> H <sub>6</sub>	0,38	0,43	0,69	0,38
% C <sub>3</sub> H <sub>8</sub>	0,45	0,51	0,85	2,95
% C <sub>4</sub> H <sub>8</sub>	0,17	0,18	0,61	0,15
% C <sub>4</sub> H <sub>10</sub>	0,71	0,95	2,35	4,80
% uC <sub>4</sub> H <sub>10</sub>	0,08	0,12	0,40	
% H <sub>2</sub>	0,02	0,02	0,05	0,05
Summe %	2,15	2,57	5,93	9,29
% C <sub>4</sub> im O <sub>4</sub> H <sub>10</sub>	90,0	89,0	85,5	-
Vern.-Nr.	440-	444-	447-	479-
	443	446	454	480

Tabelle 3

000759

Abzugswerte der Sulfathenzine aus Tabelle 1

S. a P 1338 Reaktion Gas 1

Spalte in Tbl. 1	1	2	3	4	5	6	7	8
1) Bei 11-180°								
Spez.Gew. (d)	0,722	0,724	0,722	0,723	0,727	0,738	0,734	0,735
Aethylsucc. I	35,0°	40,5°	34,0°	39,5°	39,5°	35,5°	34,0°	38,0°
Aethylsucc. II	-1,0°	-1,0°	-1,0°	63,0°	64,0°	63,5°	63,0°	63,0°
Benzene	30°	30°	30°	25°	32°	33°	33°	40°
-70°	13,2	21,0	22,0	26,0	20,0	26,0	26,0	26,0
-100°	12,5	13,0	18,0	45,0	36,0	44,0	44,0	40,5
-120°	5,0	57,0	50,0	58,0	48,0	53,5	56,0	51,5
-150°	77,5	79,0	73,0	80,0	73,0	83,5	75,5	78,5
-180°	18,0	97,5	96,0	97,0	97,8	96,0	96,0	96,0
Ethyldieth.	184	183	187	185	183	180	188	184
Acet. I				34,6	50,2	33,2	37,2	34,3
C. Acet. (M)				77,5	76,0	75,5	74,5	77,2
% C, 17% Pb				86,0	84,5	85,0	82,5	88,5
% P. Ruffin				54,0	54,0	52,0	53,5	49,0
% N, Phenole				13,5	14,5	15,5	13,5	15,0
% Acet. ton				26,0	27,0	26,5	27,5	31,0
% Sulfat				6,5	4,5	6,0	5,5	6,5
2) Bei 11-180°								
Spez.Gew. (d)	0,722	0,724	0,722	0,723	0,728	0,735	0,734	0,730
Aethylsucc. I	32,0°	41,5°	37,0°	41°	40°	37,5°	38,0°	41°
Aethylsucc. II	-12,5°	-17,0°	-1,0°	65°	63°	64,5°	63,0°	62,5°
Benzene	30°	30°	30°	25°	32°	33°	33°	40°
-70°	13,0	21,0	20,0	27,0	25,0	27,0	27,0	27,0
-100°	12,0	45,0	40,0	47,5	41,0	47,0	41,0	45,5
-120°	10,0	51,0	46,0	65,0	59,0	65,0	59,0	68,0
-140°	10,0	92,0	84,0	87,0	85,0	89,0	87,0	92,0
-160°	12,0	93,0	85,0	95,0	94,0	95,0	93,0	96,0
-180°	1,0	11,0	1,0	168	169	168	170	165
Acet. I				51,5	51,2	51,4	57,0	41,4
C. Acet. (M)				75,0	77,0	71,0	73,0	77,0
% C, 17% Pb				88,0	87,5	89,0	87,5	88,0
% P. Ruffin				54,0	51,5	54,0	54,0	51,0
% N. Phenole				16,0	18,5	16,0	16,0	17,0
% Acet. ton				4,0	7,0	7,0	7,0	24,0
% Sulfat				4,0	5,0	4,0	4,0	4,0

000700

Tabelle 4

Eigenschaften der Spaltbenzine aus Tab. 2  
 b) aus P 1203 Bruchsaler Gasöl

Spalte in Tab. 2	1	2	3	4
1) Benzin -180°				
Spez. Gewicht	0,723	0,726	0,726	0,715
Anilinpunkt I	48,0°	48,5°	43,0°	45,0°
Anilinpunkt II	63,5°	64,5°	66,0°	-
Beginn	30°	34°	39°	30°
- 70°	10,0	21,0	21,0	30,0
- 100°	35,0	36,0	38,0	47,5
- 120°	45,0	48,0	50,0	56,0
- 150°	69,0	67,5	72,0	75,5
- 180°	96,8	95,8	-	96,8
Endpunkt	187	189	181°	190
Jod-Zahl	26,4	21,8	26,8	25,0
Oktanzahl (M)	71,7	75,0	71,5	
+ 0,12 % Pb	87,0	90,0	89,0	
% Paraffin	59,0	61,5	57,5	
% Naphthene	16,0	13,5	8,5	
% Aromaten	18,5	18,5	26,0	
% Olefine	6,5	6,5	8,0	
2) Benzin -165°				
Spez. Gewicht	0,728	0,726	0,727	
Anilinpunkt I	49,5°	48,0°	43,5°	
Anilinpunkt II	64,5°	64,0°	64,5°	
Beginn	50°	57°	53°	
- 70°	17,5	14,5	15,5	
- 100°	44,0	44,0	45,5	
- 120°	58,0	62,5	61,5	
- 150°	83,5	86,5	86,5	
- 160°	92,5	94,5	94,5	
Endpunkt	170	170	171	
Jod-Zahl	15,6	23,1	32,0	
Oktanzahl (M)	69,0	71,0	73,0	
+ 0,12 % Pb	86,4	88,2	88,2	
% Paraffin	63,5	61,0	56,5	
% Naphthene	14,0	15,5	12,5	
% Aromaten	17,5	18,5	24,0	
% Olefine	5,0	5,0	7,0	

Tabelle 5

000761

Eigenschaften der Spalt-b-Mittelöle der  
Tabelle 1 und 2.

a) aus P. 1338 Reitbrook Gasöl

Spalte in Tab. 1	1	2	3	4	5	6	7	8
<u>1) Mittelöl &gt; 180°</u>								
Spez. Gewicht	0,876	0,860	0,857	0,856	0,853	0,867	0,866	0,870
Anilinpunkt	36,5	42,5	48,0	48,0	52,5	40,5	39,0	31,0
<u>2) Mittelöl &gt; 165°</u>								
Spez. Gewicht	0,866	0,854	0,855	0,850	0,848	0,863	0,860	0,865
Anilinpunkt	34,5	41,5	47,0	46,5	52,0	38,0	40,5	38,0

b) aus P. 1203 Bruchsaler Gasöl

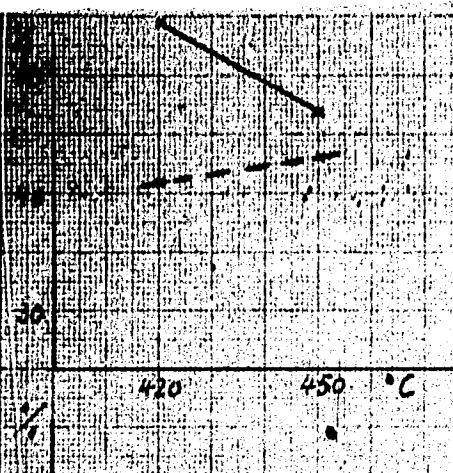
Spalte in Tab. 2	1	2	3	4
<u>1) Mi'81 &gt; 180°</u>				
Spez. Gewicht	0,828	0,821	0,825	0,819
Anilinpunkt	62,0	62,0	60,0	61,0
<u>2.) Mi'81 &gt; 165°</u>				
Spez. Gewicht	0,818	0,818	0,820	-
Anilinpunkt	60,5	61,0	58,0	-

00076

Einfluss der Temperatur

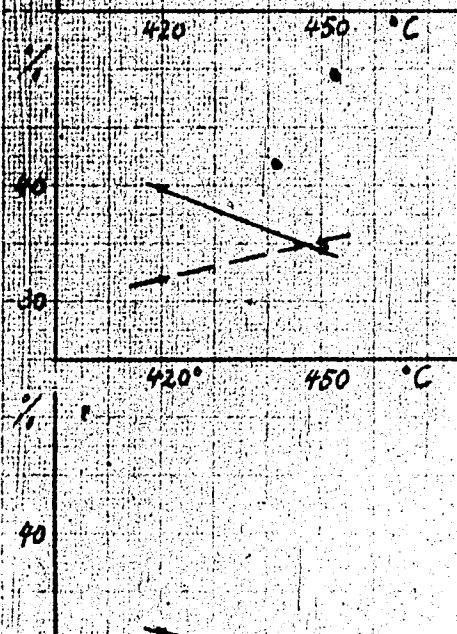
Du = 0,5 Vol/Vol / Std.

a) Mittellösungsatz



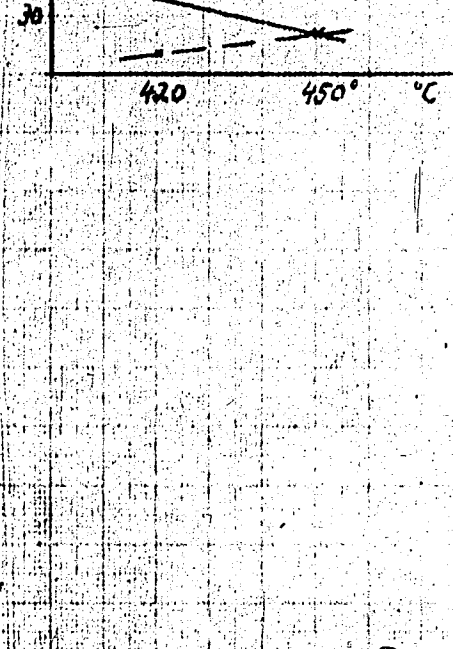
15 Methyl-Cyclohexane

30 " "



b) Benzene - 180°

c) Benzene - 165°



J.C. Farber & Son Attorneys  
Ludingtonon - Pa.

1933 Rockbrook Gas Co.

Black

2028877416313000

100775

120° Dose

a) Öl mit Wasser

120° Dose

60 Min.

90

90

75

60

Min.

15

30

95

60

Min.

90

90

95

60

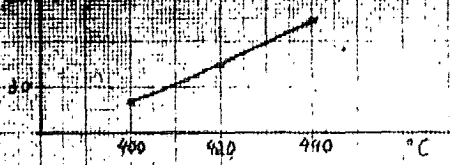
Min.

b) Benzin - 120°

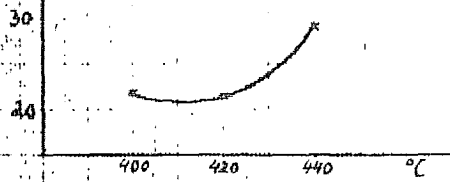
c) Benzin - 165°

000766

b) Benzín - 180°



c) Benzín - 165°

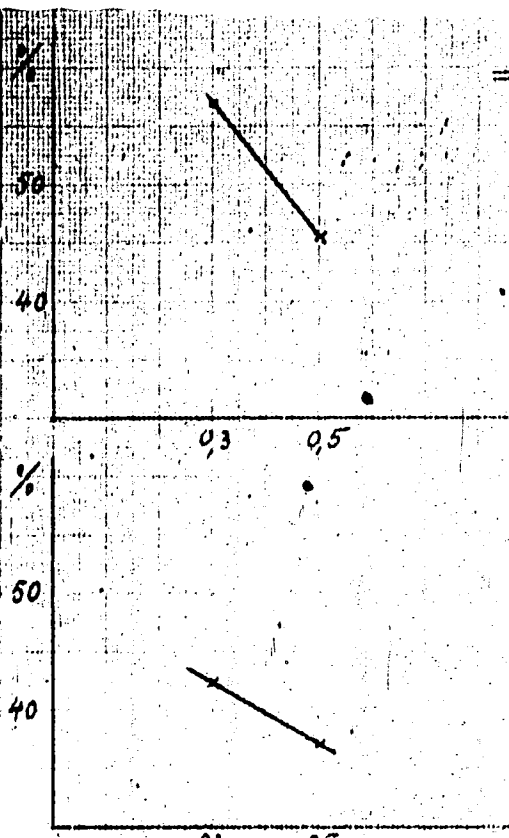


Einfluss des Durchsatzes (5)

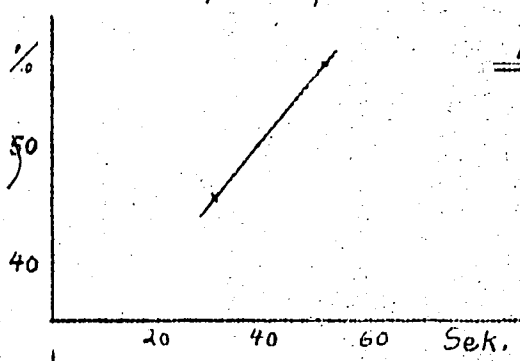
440°, 15 Min.

000;61

a) Mittelölumsatz

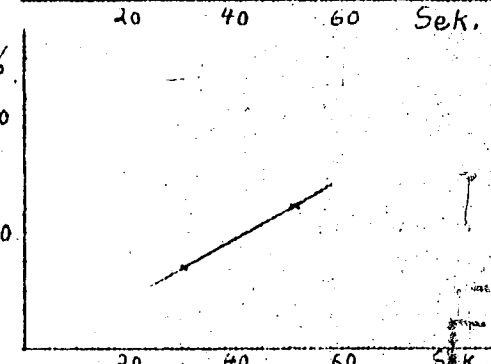


b) Benzölf. - 180°



Einfluss der Verweilzeit (5a)

a) Mittelölumsatz



b) Benzölf. - 180°

Produktverteilung

1/2 Abhängigkeit vom Umsatz

Bl - 180°

Mööl Umsatz

P1338 (420°)

10 20 30 40 50 60 70 %

x Trocken gas

• Flüssiggas

○ Koks

P1338

1 2 3 4 5 6 7 8 9 %

Bl - 180°

Mööl Umsatz

Bl - 165°

P1203 (440°)

10 20 30 40 50 60 70 %

Tr. Gas

Koks

Fl. Gas

P1203

1 2 3 4 5 6 7 8 9 %

000569

Produktverteilung  
in Abhängigkeit von der Temperatur

P1338

(Du = 0,5 ; 30 Min)

10 20 30 40 60 70 %

460

440

420

x Tr. Gas

• Fl. Gas

◎ Koks

P1338

1 2 3 4 5 6 7 8 9 %

440

420

P1203

(Du = 0,5 ; 15 Min)

10 20 30 40 50 60 70 %

440

420

P1203

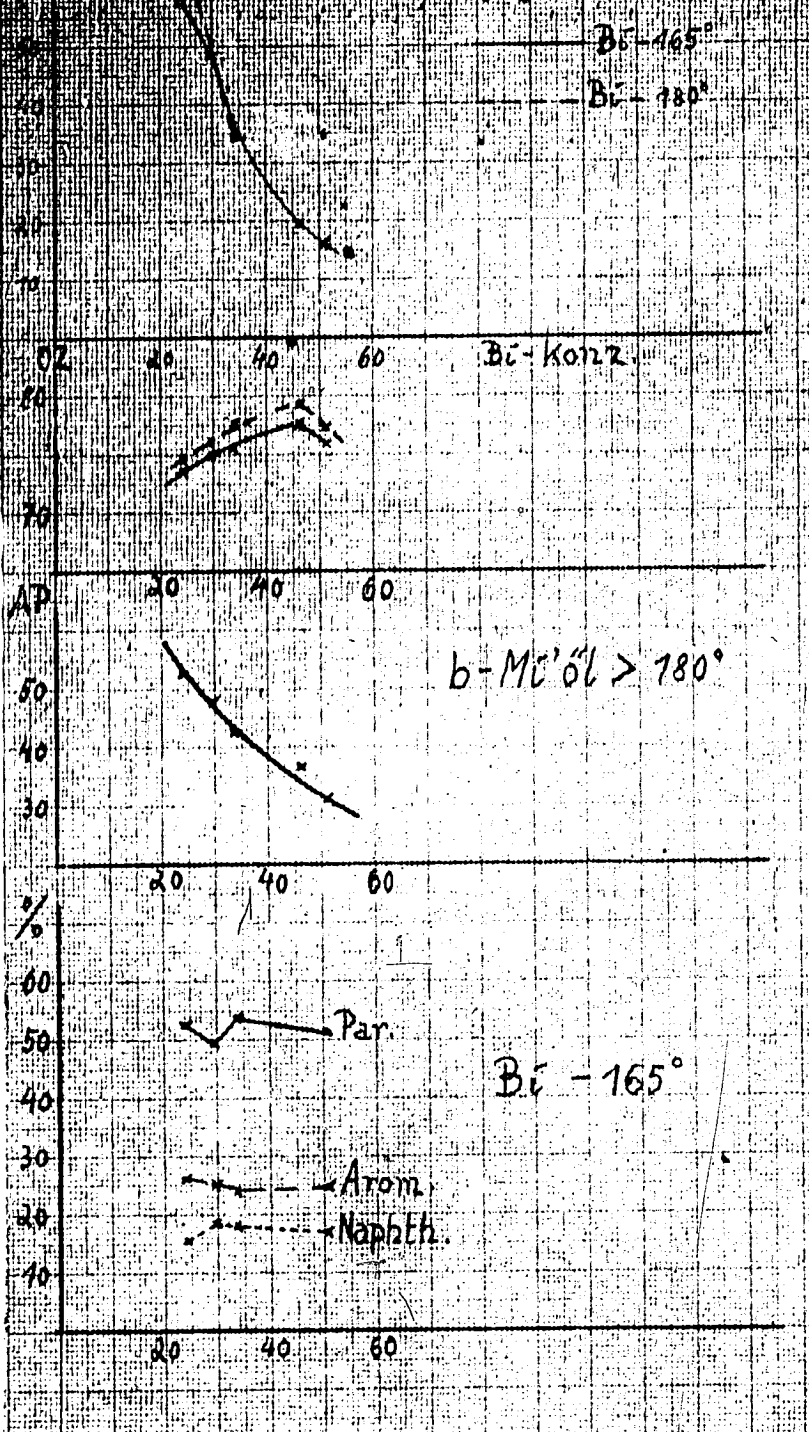
1 2 3 4 5 6 7 8 9 %

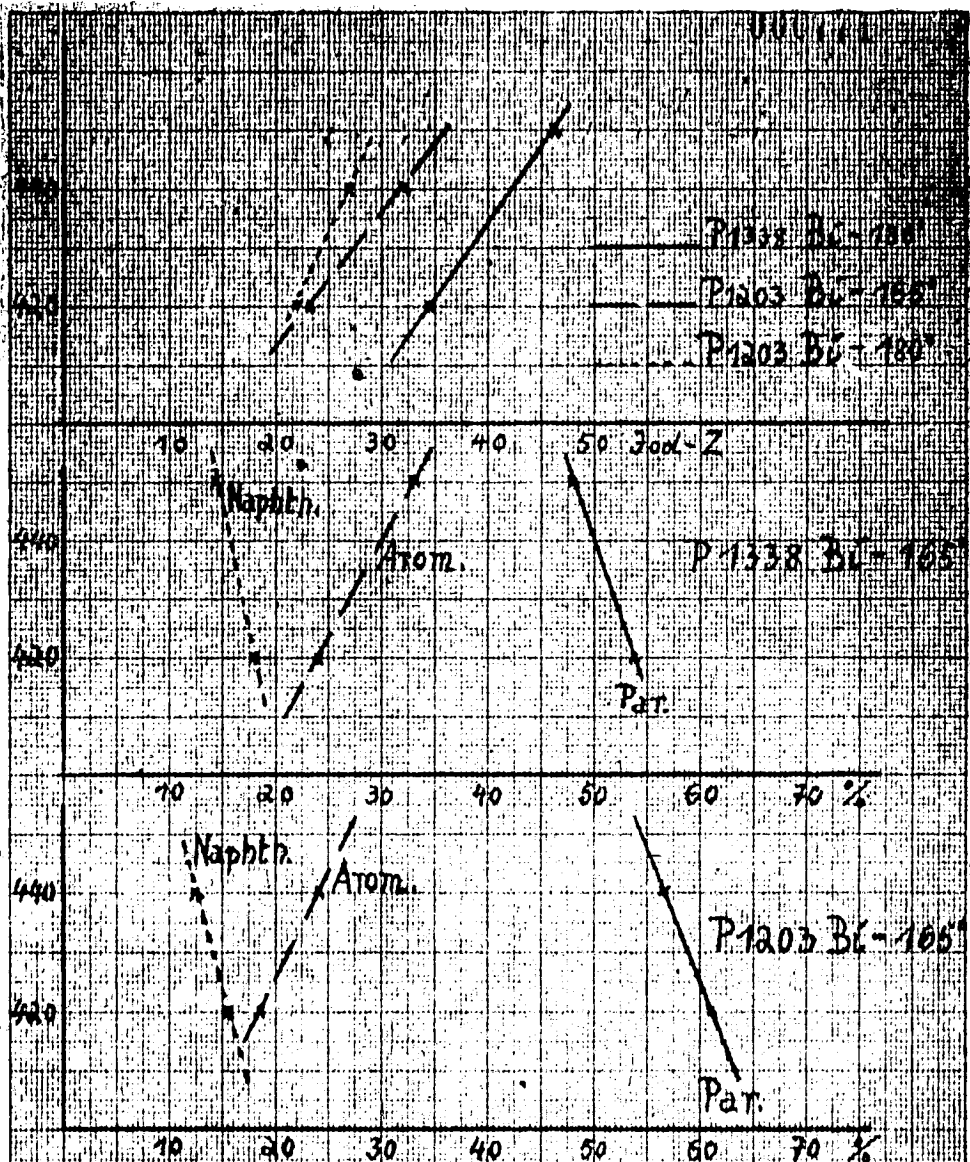
P1338 P1203 Ansätze

Blatt 7, 7a

100.70

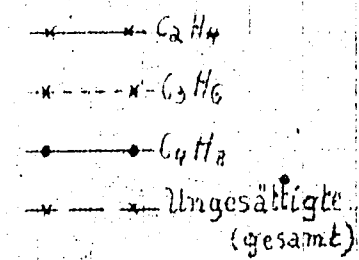
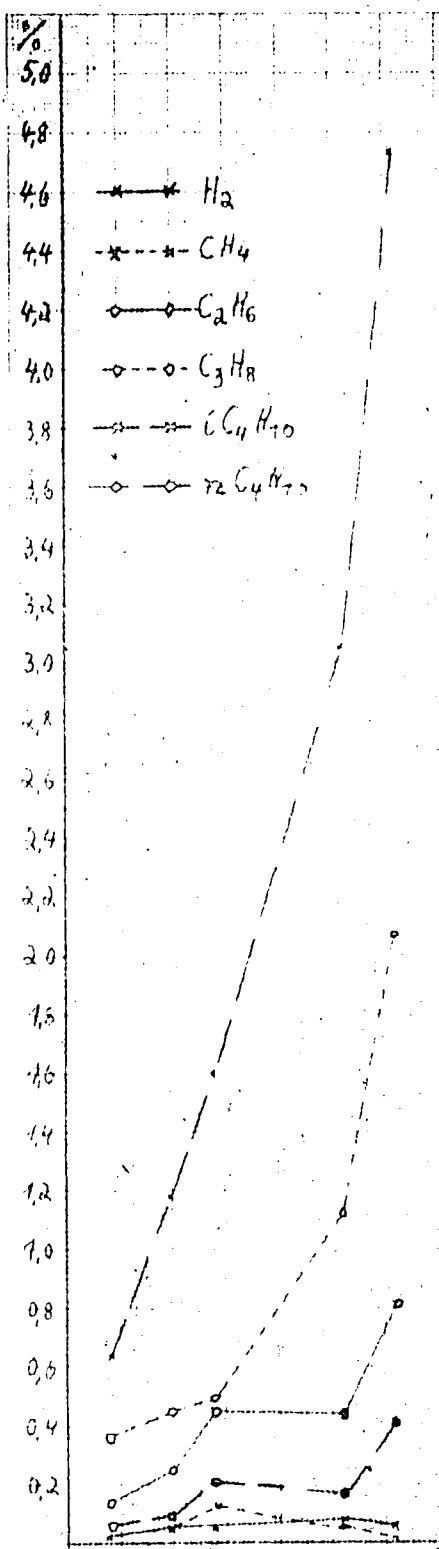
Prozentförmige Zusammensetzung  
in Abhängigkeit vom Verdunstung





Produktqualität in Abhängigkeit  
von der Temperatur.

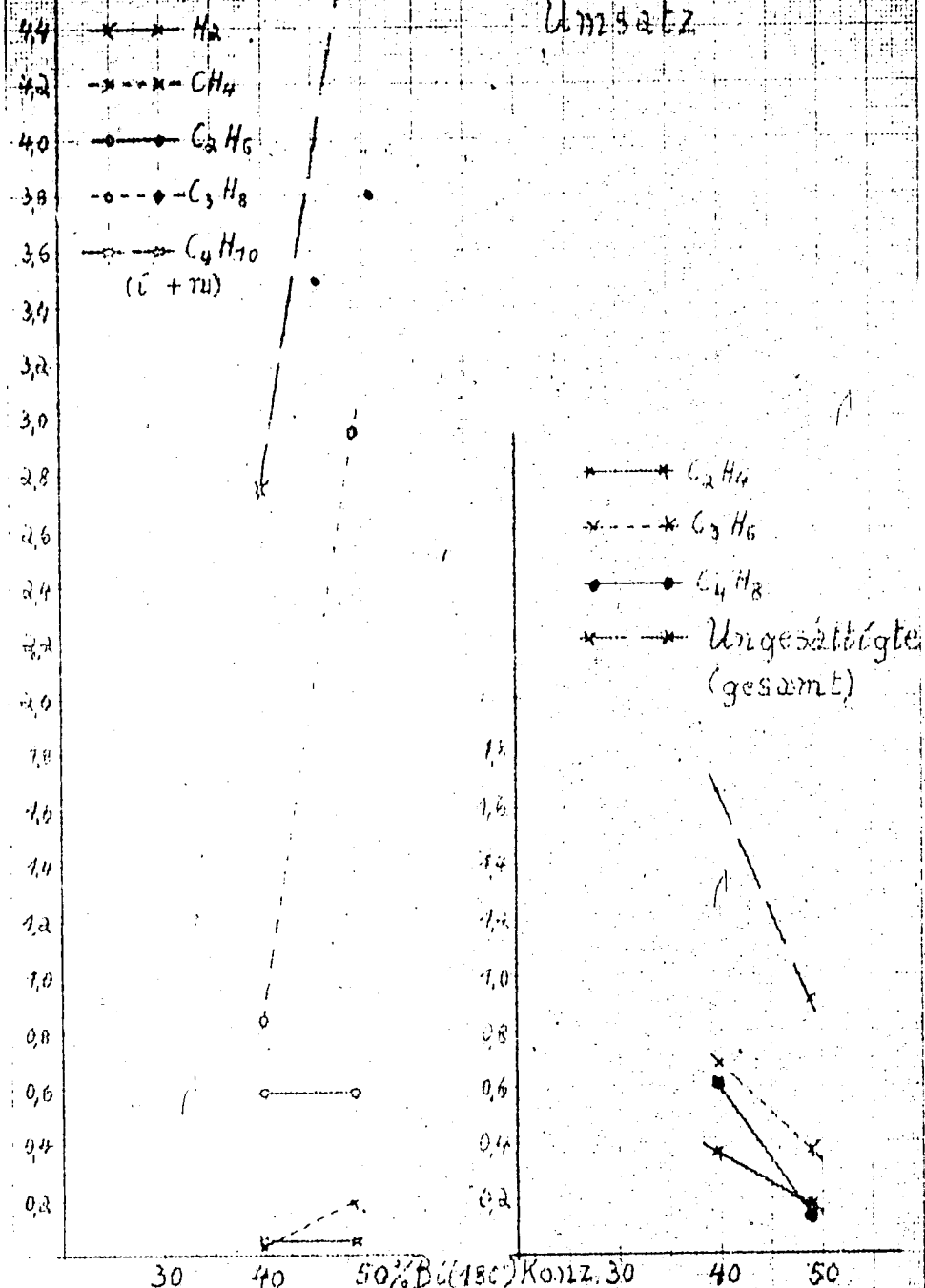
Aus Zusammensetzung

in Abhängigkeit von  
Umsatz.

Gesättigte KW

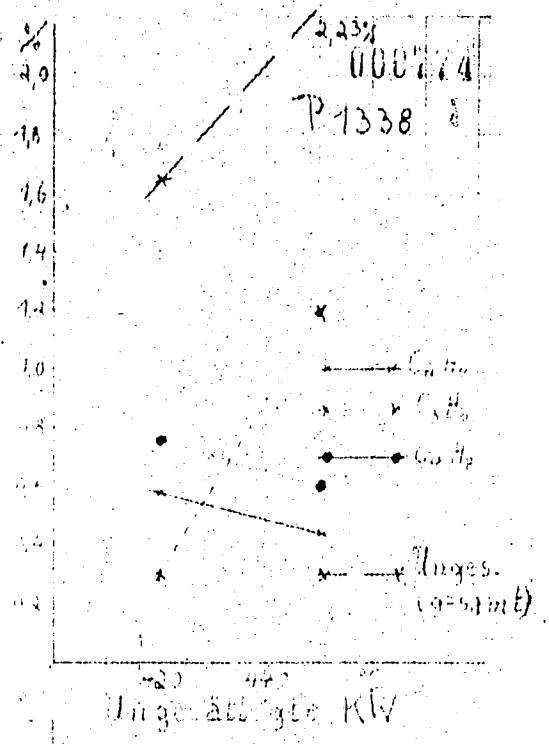
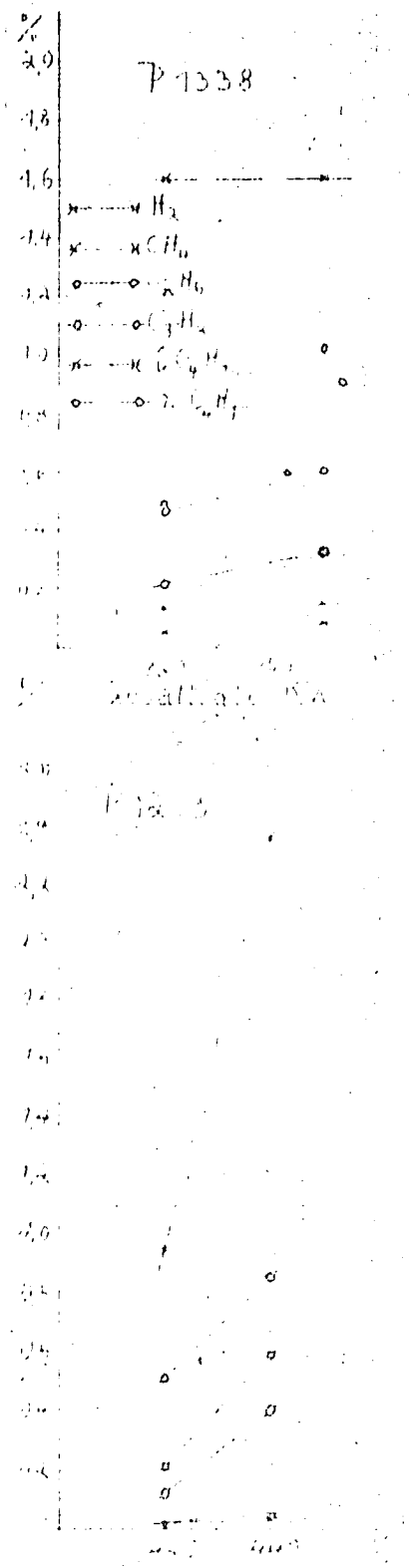
Ungesättigte KW

Gaszusammensetzung  
in Abhängigkeit vom  
Umsatz



Gesättigte KW

Ungesättigte KW



220 440  
 Ungeättigte KW

P 1203

Die Kurve ist nicht  
 aufgenommen worden. Temperatur

P 1338

50

40

30

10 20 30 40 50 % Bi (C<sub>4</sub>-frei)

Bi-180° Staub  
Bi-150° " "  
Bi-180° K 6752  
Bi-165° K 6752

P 1203

50

40

30

10 20 30 40 50 % Bi (C<sub>4</sub>-frei)

Vergleich: 6108 Staub : 6752 fest

Ausberüte

KMöl

Umsatz

P 1338

Umsatz

50

-10

-30

-50

50

-10

-30

20

P 1338

BG-180° Staub

Tr.Gas

Fl.Gas

KÖR

BG-180° K6752

Tr.AZS

Fl.AZS

KOKs

Tr.GK

BG-180° F.GK + Staub

BG-180° F.GK +

Tr.GK + K

BG-180° F.GK + K6752

Tr.GK + K

BG-180° F.GK + K

Tr.GK + K

BG-180° F.GK + K

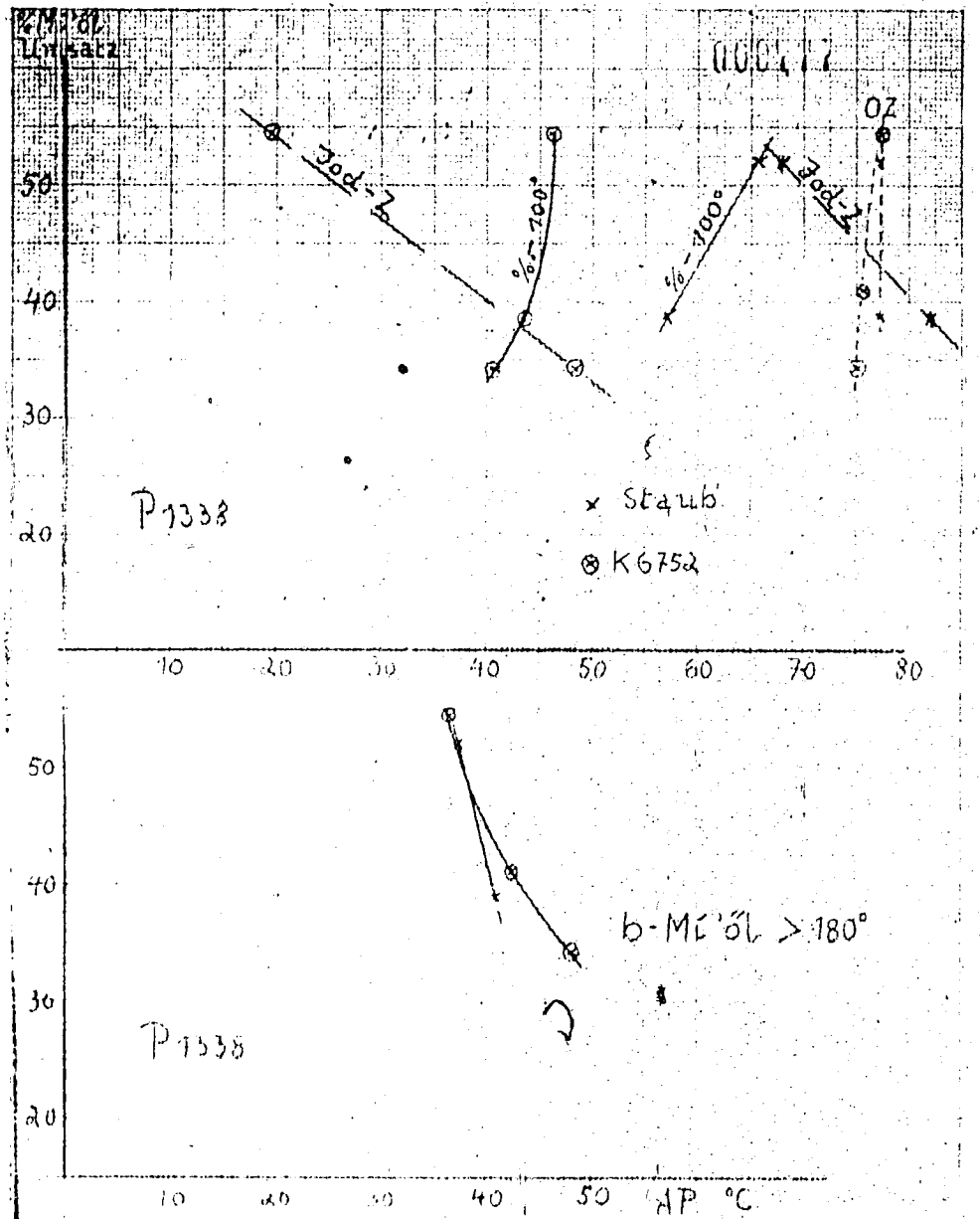
BG-180°

BG-180°

Vorabzug 180° Staub: 6752 Fest

P 1338 BG-180° Staub

Staub Blatt 14



Vergleich: 6108 Staub: 6752 fest

### Produktqualität